

УДК 630.377.4

*В.Ф. Полетайкин, И.А. Гончаров*

**РАЗРАБОТКА МАТЕМАТИЧЕСКИХ МОДЕЛЕЙ СИСТЕМЫ “ТЕХНОЛОГИЧЕСКОЕ ОБОРУДОВАНИЕ – ГРУЗ” ПОВОРОТНОГО ЛЕСОПОГРУЗЧИКА В РЕЖИМЕ ПОДТЯГИВАНИЯ ГРУЗА**

Статья посвящена разработке математических моделей системы “технологическое оборудование – груз” телескопического манипулятора поворотного лесопогрузчика в режиме подтягивания груза.

**Ключевые слова:** лесопогрузчики поворотные, манипулятор, математические модели.

*V.F. Poletaykin, I.A. Goncharov*

**MATHEMATICAL MODEL DEVELOPMENT OF “TECHNOLOGICAL EQUIPMENT-FREIGHT” SYSTEM  
OF THE ROTARY LOGGER IN THE FREIGHT PULLING UP MODE**

*The article is devoted to the mathematical model development of “technological equipment – freight” system of the rotary logger telescopic manipulator in the freight pulling up mode.*

**Key words:** *rotary loggers, manipulator, mathematical models.*

**Введение.** В связи с тем, что переместительные операции занимают ведущее место в технологии лесной и деревообрабатывающей промышленности, вопросы эффективного использования манипуляторов приобретают особую значимость. Практика ведения лесозаготовок в России и за рубежом показала, что лесосечные машины манипуляторного типа останутся в ближайшем будущем основными машинами, поэтому совершенствование и создание новых машин такого типа весьма актуально [1–5].

**Цель исследований.** Разработать математические модели системы “технологическое оборудование – груз” для поворотного лесопогрузчика в режиме подтягивания груза.

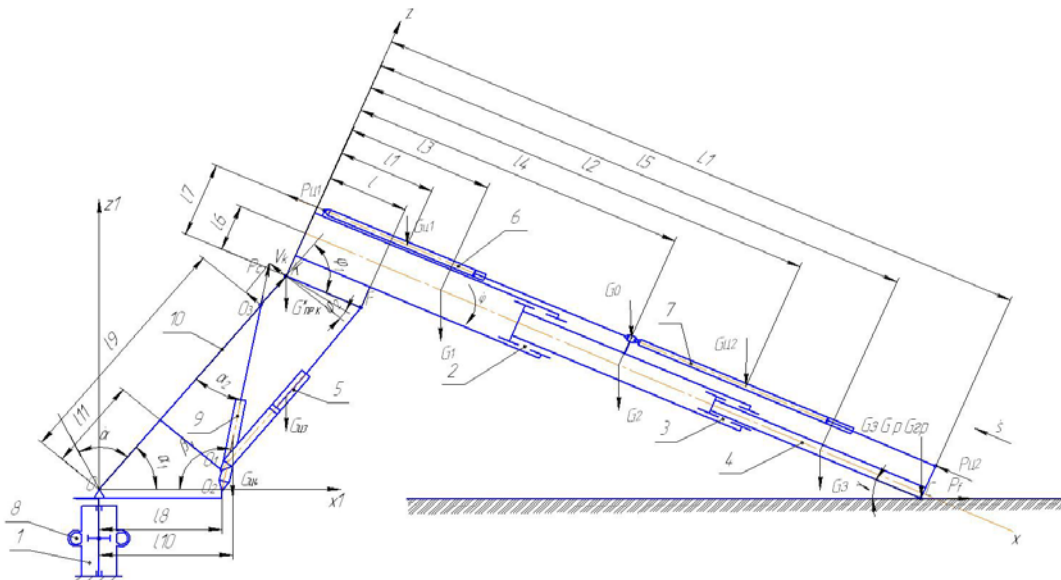
**Задачи исследований.** Определение кинетической энергии системы и обобщенных сил, соответствующих обобщенным координатам системы.

**Методика и результаты исследований.** Для разработки математических моделей в работе использованы дифференциальные уравнения Лагранжа 2-го рода.

Расчетная схема системы “технологическое оборудование – груз” представлена на рисунке. Рассматриваемый режим может иметь место при работе манипулятора в качестве технологического оборудования лесопогрузчиков, валочно-трелевочных машин, машин для бесчокерной трелевки деревьев и других лесосечных и лесотранспортных машин.

После захвата груза рабочим органом он подтягивается к машине перемещением подвижных секций телескопической стрелы при помощи механизма выдвижения секций (МВС) и поворотом колонны относительно оси О. При этом стрела совершает сложное движение: секции стрелы совершают поступательное движение относительно оси Х и одновременно стрела совершает поворот относительно оси К и оси О. Пости гидроцилиндра подъема стрелы находятся в плавающем положении, что обеспечивает свободное перемещение груза по поверхности пути.

Данный режим позволяет сократить время цикла и повысить производительность поворотного лесопогрузчика. Однако следует учитывать, что при этом возникают динамические нагрузки, которые необходимо учитывать при проектировании.



Расчетная схема системы “технологическое оборудование – груз” (манипулятор с отклоняющейся колонной); 1 – опорно-поворотное устройство; 2, 3, 4 – наружная, средняя, внутренняя секции телескопической стрелы; 5 – гидроцилиндр подъема стрелы; 6, 7 – гидроцилиндры МВС; 8 – механизм поворота манипулятора в горизонтальной плоскости; 9 – гидроцилиндр поворота колонны; 10 – колонна

На рисунке приняты следующие обозначения:  $G_1, G_2, G_3$  – силы тяжести наружной, средней и внутренней секций стрелы;  $G_3, G_{ep}, G_p$  – силы тяжести захвата, груза и ротора, приведенные в точку С – точку подвеса ротора к стреле;  $G_0$  – силы тяжести механизма изменения вылета, приведенные к центру массы средней секции;  $G_{q1}, G_{q2}$  – силы тяжести гидроцилиндров выдвижения секций стрелы. Принимаем  $G_{q1} = G_{q2}$ ;  $G_{q3}, G_{q4}$  – силы тяжести гидроцилиндров подъема стрелы и поворота колонны;  $G_{pr,k}$  – суммарная сила тяжести элементов конструкции колонны, приведенная к точке К;  $P_c$  – усилие на штоке гидроцилиндра поворота колонны;  $P_{q1}, P_{q2}$  – усилия на штоках гидроцилиндров механизма изменения вылета,  $P_{q1} = P_{q2}$ ;  $P_f$  – сила сопротивления перемещению дерева;  $L_1$  – размер стрелы при выдвинутых секциях;  $I_1, I_2, I_3, I_4, I_5$  – расстояния от оси вращения стрелы К до центров тяжести элементов конструкции;  $I, I_6, I_7, I_8, I_9, I_{10}, I_{11}$  – размеры элементов конструкции манипулятора;  $\alpha$  – угол поворота колонны в плоскости  $Z_1OX_1$ ;  $\dot{\alpha}$  – угловая скорость вращения колонны;  $S$  – ход телескопического устройства стрелы;  $\dot{S}$  – скорость поступательного движения секций;  $\varphi$  – угол поворота стрелы в плоскости  $ZKX$ ;  $\dot{\varphi}$  – угловая скорость вращения стрелы;  $V_k$  – скорость перемещения колонны;  $\gamma$  и  $\gamma_1$  – вспомогательные углы.

Стрела совершает вращение с одновременным втягиванием секций в плоскости  $ZKX$ , колонна вращается в плоскости  $Z_1OX_1$ . Углы поворота  $\alpha$  и  $\varphi$ , а также величина перемещения секций  $S$ , однозначно определяют положения данных элементов системы в плоскостях вращения. Исходя из этого, данную систему можно рассматривать как систему с тремя степенями свободы ( $K=3$ ) с обобщенными координатами  $\alpha, S$  и  $\varphi$ .

Для составления уравнений движения данной механической системы воспользуемся уравнениями Лагранжа 2-го рода. В соответствии с числом степеней свободы системы записываем три уравнения Лагранжа:

$$\frac{d}{dt}\left(\frac{\partial T}{\partial \dot{\alpha}}\right) - \frac{\partial T}{\partial \alpha} = Q_\alpha; \quad \frac{d}{dt}\left(\frac{\partial T}{\partial \dot{S}}\right) - \frac{\partial T}{\partial S} = Q_S; \quad \frac{d}{dt}\left(\frac{\partial T}{\partial \dot{\varphi}}\right) - \frac{\partial T}{\partial \varphi} = Q_\varphi. \quad (1)$$

где  $T$  – кинетическая энергия системы;  $Q_\alpha$  – обобщенная сила, соответствующая обобщенной координате  $\alpha$ ;  $Q_S$  – обобщенная сила, соответствующая обобщенной координате  $S$ ;  $Q_\varphi$  – обобщенная сила, соответствующая обобщенной координате  $\varphi$ .

Кинетическая энергия рассматриваемой системы равна сумме кинетических энергий колонны, стрелы и груза:

$$T = T_K + T_{\Gamma P} + T_C, \quad (2)$$

где  $T_K$  – кинетическая энергия приведенной к точке К массы колонны и элементов конструкции, смонтированных на ней (гидроцилиндров поворота колонны и подъема стрелы и других частей гидропривода);  $T_{\Gamma P}$  – кинетическая энергия груза, захвата и ротора;  $T_C$  – кинетическая энергия массы стрелы.

Кинетическая энергия колонны равна:

$$T_K = \frac{I_o \dot{\alpha}^2}{2} = \frac{m_{\text{PP},K} L_K^2 \dot{\alpha}^2}{2}. \quad (3)$$

Получено выражение приведенной к точке К массы колонны и элементов конструкции:

$$m_{\text{PP},K} = 0,25m_K + 0,125m_{\text{U3}} \cdot \frac{l^2}{L_K^2} + 0,125m_{\text{U4}} \cdot \frac{l_8^2}{L_K^2}. \quad (4)$$

Подставив (4) в (3), получим выражение для определения кинетической энергии колонны:

$$T_K = \frac{(0,25m_K + 0,125m_{\text{U3}} \cdot \frac{l^2}{L_K^2} + 0,125m_{\text{U4}} \cdot \frac{l_8^2}{L_K^2}) L_K^2 \dot{\alpha}^2}{2}. \quad (5)$$

Так как захват, ротор и груз перемещаются по поверхности погрузочной площадки, их кинетическая энергия равна:

$$T_{\Gamma P} = \frac{(m_p + m_s + m_{ep}) V_{\Gamma C}^2}{2}, \quad (6)$$

где  $V_{\Gamma C}$  – скорость горизонтального перемещения масс  $m_p$ ,  $m_s$ ,  $m_{ep}$  по поверхности погрузочной площадки.

Скорость  $V_{\Gamma C}$  величина переменная, напрямую зависящая от значения угла  $\phi$ . Она определяется по следующим выражениям:

$$\text{При } \varphi \geq 90^\circ \text{ и } \gamma_2 = \varphi - 90^\circ \quad V_{\Gamma C} = V_K \cos(\gamma + \gamma_2) + \dot{S} \cos \gamma. \quad (7)$$

Скорость перемещения колонны  $V_K$  определяется из выражения:

$$V_K = \dot{\alpha} L_K. \quad (8)$$

Таким образом, кинетическая энергия груза, захвата и ротора для данного случая будет определяться из выражения:

$$T_{\Gamma P1} = \frac{(m_p + m_s + m_{ep})(\dot{\alpha} L_K \cos(\gamma + \gamma_2) + \dot{S} \cos \gamma)^2}{2}. \quad (9)$$

$$\text{При } \varphi \leq 90^\circ \text{ и } \gamma_2 = 90^\circ - \varphi \quad V_{\Gamma C} = V_K \cos(\gamma_2 - \gamma) + \dot{S} \cos \gamma. \quad (10)$$

Для данного случая кинетическая энергия равна:

$$T_{\text{ГР2}} = \frac{(m_p + m_3 + m_{zp})(\dot{\alpha} L_K \cos(\gamma_2 - \gamma) + \dot{S} \cos \gamma)^2}{2}. \quad (11)$$

Элементы конструкции стрелы движутся с постоянной скоростью  $V_C$ , которая определяется из выражения:

$$V_{C,i} = \sqrt{V_K^2 + \dot{S}^2 + 2V_K \dot{S} \cos \gamma_2} = \sqrt{\dot{\alpha}^2 L_K^2 + \dot{S}^2 + 2\dot{\alpha} \dot{S} L_K \cos \gamma_2}. \quad (12)$$

Кинетическая энергия системы в конце первого этапа определяется следующим выражением:

$$\begin{aligned} T_1 = & \frac{1}{2} \{ \dot{\phi}^2 [(m_3 r_5^2 + m_{H2} r_2^2 + m_2 r_4^2 + m_0 r_4^2 + m_{H1} r_1^2 + m_1 r_3^2) + (m_3 (-r_5 S + 0,25 S^2) + \\ & + m_{H2} (-0,5 r_2 S + 0,0625 S^2))] + [\dot{\alpha}^2 L_K^2 (m_3 + 0,5 m_{H2} + m_2 + m_0 + m_{H1} + m_1) + \dot{S}^2 (m_3 + 0,5 m_{H2}) + \\ & + 2\dot{\alpha} L_K \dot{S} \cos \gamma_2 (m_3 + 0,5 m_{H2})] + [(\dot{\alpha}^2 L_K^2 \cos^2(\gamma + \gamma_2)) (m_p + m_3 + m_{TP}) + \\ & + (2\dot{\alpha} L_K \cos(\gamma + \gamma_2) \dot{S} \cos \gamma) (m_p + m_3 + m_{TP}) + (\dot{S}^2 \cos^2 \gamma) (m_p + m_3 + m_{TP})] + [m_{NP,K} L_K^2 \dot{\alpha}^2] \}. \end{aligned} \quad (13)$$

Кинетическая энергия системы в конце второго этапа определяется по выражению:

$$\begin{aligned} T_2 = & \frac{1}{2} \{ \dot{\phi}^2 [(m_1 r_3^2 + m_{H1} r_1^2 + m_2 r_4^2 + m_0 r_4^2 + m_3 r_5^2 + m_{H2} r_2^2) + (m_{H1} (-0,5 r_1 S + 0,0625 S^2) + \\ & + m_2 (-r_4 S + 0,25 S^2) + m_0 (-r_4 S + 0,25 S^2) + m_3 (-2r_5 S + S^2) + m_{H2} (-1,5 r_2 S + 0,5625 S^2)] + \\ & + [\dot{\alpha}^2 L_K^2 (m_1 + m_2 + m_3 + 0,5 m_{H1} + m_{H2} + m_0) + \dot{S}^2 (m_2 + m_3 + 0,5 m_{H1} + m_{H2} + m_0) + \\ & + 2\dot{\alpha} L_K \dot{S} \cos \gamma_2 (m_2 + m_3 + 0,5 m_{H1} + m_{H2} + m_0)] + [(\dot{\alpha}^2 L_K^2 \cos^2(\gamma_2 - \gamma)) (m_p + m_3 + m_{TP}) + \\ & + (2\dot{\alpha} L_K \cos(\gamma_2 - \gamma) \dot{S} \cos \gamma) (m_p + m_3 + m_{TP}) + (\dot{S}^2 \cos^2 \gamma) (m_p + m_3 + m_{TP})] + [m_{NP,K} L_K^2 \dot{\alpha}^2] \}. \end{aligned} \quad (14)$$

Для получения уравнений движения системы на первом и втором этапах производим дифференцирование выражений (13) и (14) по составляющим уравнений Лагранжа. Далее подставляем результаты дифференцирования кинетической энергии в левые части уравнений Лагранжа (1).

Так как гидроцилиндры подъема стрелы находятся в плавающем положении, то сила тяжести стрелы в любой момент времени распределяется между точками К и С. Составляющие силы тяжести стрелы:  $G_C^K$  – часть силы тяжести стрелы, передающаяся на колонну;  $G_C^C$  – часть силы тяжести стрелы, передающаяся на захват, ротор и груз.

Точка приложения равнодействующей сил тяжести частей стрелы может быть определена из выражения, составленного на основании теоремы Вариньона:

$$\sum G_i l_i = G_C L_C^{'}, \quad (15)$$

где  $G_i$  – силы тяжести составных частей стрелы;  $l_i$  – координаты центров тяжести частей  $G_i$  относительно точки К;  $G_C$  – сила тяжести стрелы, равная сумме сил тяжести составных частей;  $L_C^{'}$  – координата центра тяжести стрелы относительно точки К.

$$L_C^{'} = \frac{\sum G_i l_i}{G_C}. \quad (16)$$

Значение  $G_C^C$  определим из уравнения равновесия стрелы относительно точки К:

$$\sum M_K = 0; -G_C L_C^{'} - G_C^C L_1 = 0; G_C^C = \frac{G_C L_C^{'}}{L_1}. \quad (17)$$

$$\text{Значение } G_C^K = G_C - G_C^C. \quad (18)$$

Значения  $G_C^C$  и  $G_C^K$  величины переменные, зависящие от размеров  $L_1$  и  $L'_C$ , поэтому при моделировании режима движения стрелы с грузом их необходимо определять на каждом шаге варьирования факторов.

Сила сопротивления перемещению дерева, сил тяжести стрелы, захвата и ротора:

$$P_f = (G_{\Delta} + G_3 + G_{IP} + G_C^K) f. \quad (19)$$

На первом этапе движения стрелы обобщенная сила  $Q_{S1}$  равна сумме проекций всех сил, совершающих работу в направлении обобщенной координаты S, то есть  $Q_{S1} = \sum F_{S1}$ .

Составляющая силы сопротивления  $P_f$  на первом этапе движения  $P_{f1}$  на направление координаты S:

$$P_{f1S} = P_{f1} \cos \gamma = (G_{\Delta} + G_3 + G_{IP} + G_C^K) f \cos \gamma. \quad (20)$$

Отсюда обобщенная сила, соответствующая обобщенной координате S для первого этапа  $0 \leq \Delta S \leq 0,5S$ , будет равна:

$$Q_{S1} = \sum P_{Si} = P_{\Delta 2} - [(0,5G_{\Delta 2} + G_3 + G_P + G_3 + G_{IP}) \cdot \sin \gamma + P_{f1} \cdot \cos \gamma]. \quad (21)$$

Обобщенная сила  $Q_{\varphi 1}$  в конце первого этапа движения равна сумме моментов всех сил относительно точки K, совершающих работу в данном направлении:

$$\begin{aligned} Q_{\varphi 1} = \sum M_K = & [-G_{\Delta 2}(l_2 - 0,25S) - G_3(l_5 - 0,5S) - (G_P + G_3 + G_{IP})(L_1 - 0,5S) - \\ & - G_0 l_4 - G_2 l_4 - G_{\Delta 1} l_1 - G_1 l_3] \cos \gamma - P_f \sin \gamma (L_1 - 0,5S) - (G_{\Delta 1} + G_0 + G_{\Delta 2}) l_7 \sin \gamma + \\ & + (G_1 + G_2 + G_3 + G_P + G_3 + G_{IP}) l_6 \sin \gamma - P_f \cos \gamma l_6. \end{aligned} \quad (22)$$

Обобщенная сила  $Q_{\alpha 1}$  равна сумме моментов всех сил, совершающих работу относительно оси вращения колонны:

$$Q_{\alpha 1} = \sum M_o = P_C \sin \alpha_2 l_9 - [(G_C^K + G_{IP,K}) L_K \cos \alpha_1 + P_f \cos \gamma (L_K + l_6)]. \quad (23)$$

По аналогии получены обобщенные силы для второго этапа движения стрелы:

$$Q_{S2} = \sum P_{Si} = P_{\Delta 1} - [(G_{\Delta 2} + 0,5G_{\Delta 1} + G_3 + G_2 + G_0 + G_P + G_3 + G_{IP}) \cdot \sin \gamma + P_{f2} \cdot \cos \gamma]. \quad (24)$$

$$\begin{aligned} Q_{\varphi 2} = \sum M_K = & [-G_{\Delta 2}(l_2 - 0,75S) - G_3(l_5 - S) - (G_P + G_3 + G_{IP})(L_1 - S) - G_0(l_4 - 0,5S) - G_2(l_4 - 0,5S) - \\ & - G_{\Delta 1}(l_1 - 0,25S) - G_1 l_3] \cos \gamma - P_f \sin \gamma (L_1 - S) - (G_{\Delta 1} + G_0 + G_{\Delta 2}) l_7 \sin \gamma + \\ & + (G_1 + G_2 + G_3 + G_P + G_3 + G_{IP}) l_6 \sin \gamma - P_f \cos \gamma l_6. \end{aligned} \quad (25)$$

$$Q_{\alpha 2} = \sum M_o = P_C \sin \alpha_2 l_9 - [(G_C^K + G_{IP,K}) L_K \cos \alpha_1 + P_f \cos \gamma (L_K + l_6)]. \quad (26)$$

Подставив выражения обобщенных сил  $Q_{S1}, Q_{S2}, Q_{\varphi 1}, Q_{\varphi 2}, Q_{\alpha 1}, Q_{\alpha 2}$  в правые части уравнений Лагранжа (1), получим полные уравнения движения системы “рабочее оборудование – груз” для первого и второго этапов  $0 \leq \Delta S \leq 0,5S$  и  $0,5S \leq \Delta S \leq S$ .

Математическая модель движения системы “рабочее оборудование-груз” для первого этапа движения ( $0 \leq \Delta S \leq 0,5S$ ) имеет следующий вид:

$$\begin{aligned}
& \ddot{S}(m_3 + 0,5m_{u2}) + \ddot{\alpha}(m_3 L_K \cos \gamma_2 + 0,5m_{u2}L_K \cos \gamma_2) - \\
& - \dot{\alpha}(m_3 L_K \sin \gamma_2 \cdot \dot{\gamma}_2 + 0,5m_{u2}L_K \sin \gamma_2 \cdot \dot{\gamma}_2) + \\
& + \dot{\alpha}(m_p L_K \cos(\gamma + \gamma_2) \cos \gamma + m_3 L_K \cos(\gamma + \gamma_2) \cos \gamma + m_{tp} L_K \cos(\gamma + \gamma_2) \cos \gamma) - \\
& - \dot{\alpha}(m_p L_K \sin(\gamma + \gamma_2) (\gamma + \gamma_2) \cos \gamma + m_3 L_K \sin(\gamma + \gamma_2) (\gamma + \gamma_2) \cos \gamma + \\
& + m_{tp} L_K \sin(\gamma + \gamma_2) (\gamma + \gamma_2) \cos \gamma) - \dot{\alpha}(m_p L_K \cos(\gamma + \gamma_2) \sin \gamma \cdot \dot{\gamma} + \\
& + m_3 L_K \cos(\gamma + \gamma_2) \sin \gamma \cdot \dot{\gamma} + m_{tp} L_K \cos(\gamma + \gamma_2) \sin \gamma \cdot \dot{\gamma}) + \\
& + \ddot{S}(m_p \cos^2 \gamma + m_3 \cos^2 \gamma + m_{tp} \cos^2 \gamma) - \\
& - 2\dot{S}(m_p \cos \gamma \sin \gamma \cdot \dot{\gamma} + m_3 \cos \gamma \sin \gamma \cdot \dot{\gamma} + m_{tp} \cos \gamma \sin \gamma \cdot \dot{\gamma})] - \\
& - [\frac{\dot{\phi}^2}{2} \langle m_3(-r_5 + 0,5S) + m_{u2}(-0,5r_2 + 0,125S) \rangle] = \\
& = P_{u2} - [(0,5G_{u2} + G_3 + G_p + G_3 + G_{tp}) \cdot \sin \gamma + P_{f1} \cdot \cos \gamma], \\
& \ddot{\phi}[m_3(r_5^2 - r_5 S + 0,25S^2) + m_{\dot{o}2}(r_2^2 - 0,5r_2 S + 0,0625S^2) + \\
& + m_2 r_4^2 + m_0 r_4^2 + m_{\dot{o}1} r_1^2 + m_1 r_3^2] + \dot{\phi}[m_3(r_5 \dot{S} + 0,25 \cdot 2S \cdot \dot{S}) + \\
& + m_{\dot{o}2}(0,5r_2 \dot{S} + 0,0625 \cdot 2S \cdot \dot{S})] = [-G_{\dot{o}2}(l_2 - 0,25S) - G_3(l_5 - 0,5S) - \\
& - (G_D + G_C + G_{AD})(L_1 - 0,5S) - G_0 l_4 - G_2 l_4 - G_{\dot{o}1} l_1 - G_1 l_3] \cos \gamma - \\
& - P_f \sin \gamma (L_1 - 0,5S) - (G_{\dot{o}1} + G_0 + G_{\dot{o}2}) l_7 \sin \gamma + \\
& + (G_1 + G_2 + G_3 + G_D + G_C + G_{AD}) l_6 \sin \gamma - P_f \cos \gamma l_6 \\
& [\ddot{\alpha}(L_K^2 m_3 + L_K^2 0,5m_{u2} + L_K^2 m_2 + L_K^2 m_0 + L_K^2 m_{u1} + L_K^2 m_1) + \\
& + \ddot{S}(m_3 L_K \cos \gamma_2 + 0,5m_{u2}L_K \cos \gamma_2) - \dot{S}(m_3 L_K \sin \gamma_2 \dot{\gamma}_2 + 0,5m_{u2}L_K \sin \gamma_2 \dot{\gamma}_2) + \\
& + \dot{\alpha}(m_p L_K^2 \cos^2(\gamma + \gamma_2) + m_3 L_K^2 \cos^2(\gamma + \gamma_2) + m_{tp} L_K^2 \cos^2(\gamma + \gamma_2)) - \\
& - 2\dot{\alpha}(m_p L_K^2 \cos(\gamma + \gamma_2) \sin(\gamma + \gamma_2) (\gamma + \gamma_2) \dot{\gamma} + \\
& + m_3 L_K^2 \cos(\gamma + \gamma_2) \sin(\gamma + \gamma_2) (\gamma + \gamma_2) \dot{\gamma} + \\
& + m_{tp} L_K^2 \cos(\gamma + \gamma_2) \sin(\gamma + \gamma_2) (\gamma + \gamma_2) \dot{\gamma} + \\
& + \ddot{S}(m_p L_K \cos(\gamma + \gamma_2) \cos \gamma + m_3 L_K \cos(\gamma + \gamma_2) \cos \gamma + m_{tp} L_K \cos(\gamma + \gamma_2) \cos \gamma) - \\
& - \dot{S}(m_p L_K \sin(\gamma + \gamma_2) (\gamma + \gamma_2) \dot{\cos} \gamma + m_3 L_K \sin(\gamma + \gamma_2) (\gamma + \gamma_2) \dot{\cos} \gamma + \\
& + m_{tp} L_K \sin(\gamma + \gamma_2) (\gamma + \gamma_2) \dot{\cos} \gamma) - \\
& - \dot{S}(m_p L_K \cos(\gamma + \gamma_2) \sin \gamma \dot{\gamma} + m_3 L_K \cos(\gamma + \gamma_2) \sin \gamma \dot{\gamma} + m_{tp} L_K \cos(\gamma + \gamma_2) \sin \gamma \dot{\gamma}) + \\
& + \ddot{\alpha} m_{pp,k} L_K^2] = P_c \sin \alpha_2 l_9 - [(G_c^K + G_{pp,k}^K) L_K \cos \alpha_1 + P_f \cos \gamma (L_K + l_6)]. 
\end{aligned} \tag{27}$$

Математическая модель движения системы “рабочее оборудование – груз” для второго этапа движения ( $0,5S \leq \Delta S \leq S$ ) имеет следующий вид:

$$\begin{aligned}
& [\ddot{S}(m_2 + m_3 + 0,5m_{u1} + m_{u2} + m_0) + \ddot{\alpha}(m_2 L_K \cos \gamma_2 + m_3 L_K \cos \gamma_2 + \\
& + 0,5m_{u1} L_K \cos \gamma_2 + m_{u2} L_K \cos \gamma_2 + m_0 L_K \cos \gamma_2) - \dot{\alpha}(m_2 L_K \sin \gamma_2 \cdot \dot{\gamma}_2 + \\
& + m_3 L_K \sin \gamma_2 \cdot \dot{\gamma}_2 + 0,5m_{u1} L_K \sin \gamma_2 \cdot \dot{\gamma}_2 + m_{u2} L_K \sin \gamma_2 \cdot \dot{\gamma}_2 + m_0 L_K \sin \gamma_2 \cdot \dot{\gamma}_2) + \\
& + \dot{\alpha}(m_p L_K \cos(\gamma_2 - \gamma) \cos \gamma + m_3 L_K \cos(\gamma_2 - \gamma) \cos \gamma + m_{tp} L_K \cos(\gamma_2 - \gamma) \cos \gamma) - \\
& - \dot{\alpha}(m_p L_K \sin(\gamma_2 - \gamma) (\gamma_2 - \gamma) \cos \gamma + m_3 L_K \sin(\gamma_2 - \gamma) (\gamma_2 - \gamma) \cos \gamma + \\
& + m_{tp} L_K \sin(\gamma_2 - \gamma) (\gamma_2 - \gamma) \cos \gamma) - \dot{\alpha}(m_p L_K \cos(\gamma_2 - \gamma) \sin \gamma \cdot \dot{\gamma} + \\
& + m_3 L_K \cos(\gamma_2 - \gamma) \sin \gamma \cdot \dot{\gamma} + m_{tp} L_K \cos(\gamma_2 - \gamma) \sin \gamma \cdot \dot{\gamma}) + \\
& + \ddot{S}(m_p \cos^2 \gamma + m_3 \cos^2 \gamma + m_{tp} \cos^2 \gamma) - 2\dot{S}(m_p \cos \gamma \sin \gamma \cdot \dot{\gamma} + m_3 \cos \gamma \sin \gamma \cdot \dot{\gamma} + \\
& + m_{tp} \cos \gamma \sin \gamma \cdot \dot{\gamma})] - [\frac{\dot{\phi}^2}{2} \{m_{u1}(-0,5r_1 + 0,125S) + m_2(-r_4 + 0,5S) + \\
& + m_0(-r_4 + 0,5S) + m_3(-2r_5 + 2S) + m_{u2}(-1,5r_2 + 1,125S)\}] = \\
& = P_{u1} - [(G_{u2} + 0,5G_{u1} + G_3 + G_2 + G_0 + G_p + G_3 + G_{tp}) \cdot \sin \gamma + P_{f2} \cdot \cos \gamma]
\end{aligned}$$

$$\begin{aligned}
 & \ddot{\phi} [m_1 r_3^2 + m_{\dot{\phi}_1} (r_1^2 - 0,5 r_1 S + 0,0625 S^2) + m_2 (r_4^2 - r_4 S + 0,25 S^2) + \\
 & + m_0 (r_4^2 - r_4 S + 0,25 S^2) + m_3 (r_5^2 - 2 r_5 S + S^2) + \\
 & + m_{\dot{\phi}_2} (r_2^2 - 1,5 r_2 S + 0,5625 S^2)] + \dot{\phi} [m_{\dot{\phi}_1} (0,5 r_1 \dot{S} + 0,0625 \cdot 2 S \cdot \dot{S}) + \\
 & + m_2 (r_4 \dot{S} + 0,25 \cdot 2 S \cdot \dot{S}) + m_0 (r_4 \dot{S} + 0,25 \cdot 2 S \cdot \dot{S}) + \\
 & + m_3 (2 r_5 \dot{S} + 2 S \cdot \dot{S}) + m_{\dot{\phi}_2} (1,5 r_2 \dot{S} + 0,5625 \cdot 2 S \cdot \dot{S})] = \\
 & = [-G_{\dot{\phi}_2} (l_2 - 0,75 S) - G_3 (l_5 - S) - (G_D + G_C + G_{AD}) (L_1 - S) - \\
 & - G_0 (l_4 - 0,5 S) - G_2 (l_4 - 0,5 S) - G_{\dot{\phi}_1} (l_1 - 0,25 S) - G_1 l_3] \cos \gamma - \\
 & - P_f \sin \gamma (L_1 - S) - (G_{\dot{\phi}_1} + G_0 + G_{\dot{\phi}_2}) l_7 \sin \gamma + \\
 & + (G_1 + G_2 + G_3 + G_D + G_C + G_{AD}) l_6 \sin \gamma - P_f \cos \gamma l_6 \\
 & [ \ddot{\alpha} (L_K^2 m_1 + L_K^2 m_2 + L_K^2 m_3 + L_K^2 0,5 m_{H1} + L_K^2 m_{H2} + L_K^2 m_0) + \ddot{S} (m_2 L_K \cos \gamma_2 + m_3 L_K \cos \gamma_2 + \\
 & + 0,5 m_{H1} L_K \cos \gamma_2 + m_{H2} L_K \cos \gamma_2 + m_0 L_K \cos \gamma_2) - \dot{S} (m_2 L_K \sin \gamma_2 \cdot \dot{\gamma}_2 + \\
 & + m_3 L_K \sin \gamma_2 \cdot \dot{\gamma}_2 + 0,5 m_{H1} L_K \sin \gamma_2 \cdot \dot{\gamma}_2 + m_{H2} L_K \sin \gamma_2 \cdot \dot{\gamma}_2 + m_0 L_K \sin \gamma_2 \cdot \dot{\gamma}_2) + \\
 & + \ddot{\alpha} (m_p L_K^2 \cos^2 (\gamma_2 - \gamma) + m_3 L_K^2 \cos^2 (\gamma_2 - \gamma) + m_{TP} L_K^2 \cos^2 (\gamma_2 - \gamma)) - \\
 & - 2 \dot{\alpha} (m_p L_K^2 \cos (\gamma_2 - \gamma) \sin (\gamma_2 - \gamma) (\gamma_2 - \gamma) + m_3 L_K^2 \cos (\gamma_2 - \gamma) \sin (\gamma_2 - \gamma) (\gamma_2 - \gamma) + \\
 & + m_{TP} L_K^2 \cos (\gamma_2 - \gamma) \sin (\gamma_2 - \gamma) (\gamma_2 - \gamma)) + \ddot{S} (m_p L_K \cos (\gamma_2 - \gamma) \cos \gamma + \\
 & + m_3 L_K \cos (\gamma_2 - \gamma) \cos \gamma + m_{TP} L_K \cos (\gamma_2 - \gamma) \cos \gamma) - \dot{S} (m_p L_K \sin (\gamma_2 - \gamma) (\gamma_2 - \gamma) \cos \gamma + \\
 & + m_3 L_K \sin (\gamma_2 - \gamma) (\gamma_2 - \gamma) \cos \gamma + m_{TP} L_K \sin (\gamma_2 - \gamma) (\gamma_2 - \gamma) \cos \gamma) - \\
 & - \dot{S} (m_p L_K \cos (\gamma_2 - \gamma) \sin \gamma \cdot \dot{\gamma} + m_3 L_K \cos (\gamma_2 - \gamma) \sin \gamma \cdot \dot{\gamma} + \\
 & + m_{TP} L_K \cos (\gamma_2 - \gamma) \sin \gamma \cdot \dot{\gamma}) + \ddot{\alpha} m_{TP.K} L_K^2 = \\
 & = P_C \sin \alpha_2 l_9 - [(G_C^K + G_{TP.K}^K) L_K \cos \alpha_1 + P_f \cos \gamma (L_K + l_6)].
 \end{aligned} \tag{28}$$

**Заключение.** В результате проделанной работы получены математические модели движения системы “технологическое оборудование – груз” поворотного лесопогрузчика в режиме подтягивания груза, позволяющие исследовать влияние на уровень динамических нагрузок на элементы конструкции конструктивных и эксплуатационных факторов (скорость поступательного движения секций, угловая скорость вращения стрелы, угловая скорость вращения колонны и т.д.).

### Литература

1. Батыр М.И., Джанелидзе Г.Ю., Кельзон А.С. Теоретическая механика в примерах и задачах. Т. 2. Динамика. – М.: Наука, 1968. – 624 с.
2. Яблонский А.А. Курс теоретической механики. Ч. 2. Динамика. – М.: Высш. шк., 1966. – 411 с.
3. Полетайкин В.Ф. Проектирование специальных лесных машин: учеб. пособие. – Красноярск: Изд-во СибГТУ, 2011. – 282 с.
4. Колесников П.Г. Моделирование рабочих режимов лесопогрузчика с переменным вылетом груза: монография. – Красноярск: СибГТУ, 2007. – 128 с.
5. Полетайкин В.Ф. Прикладная механика лесных подъемно-транспортных машин. Лесопогрузчики гусеничные: монография. – Красноярск: СибГТУ, 2010. – 280 с.

